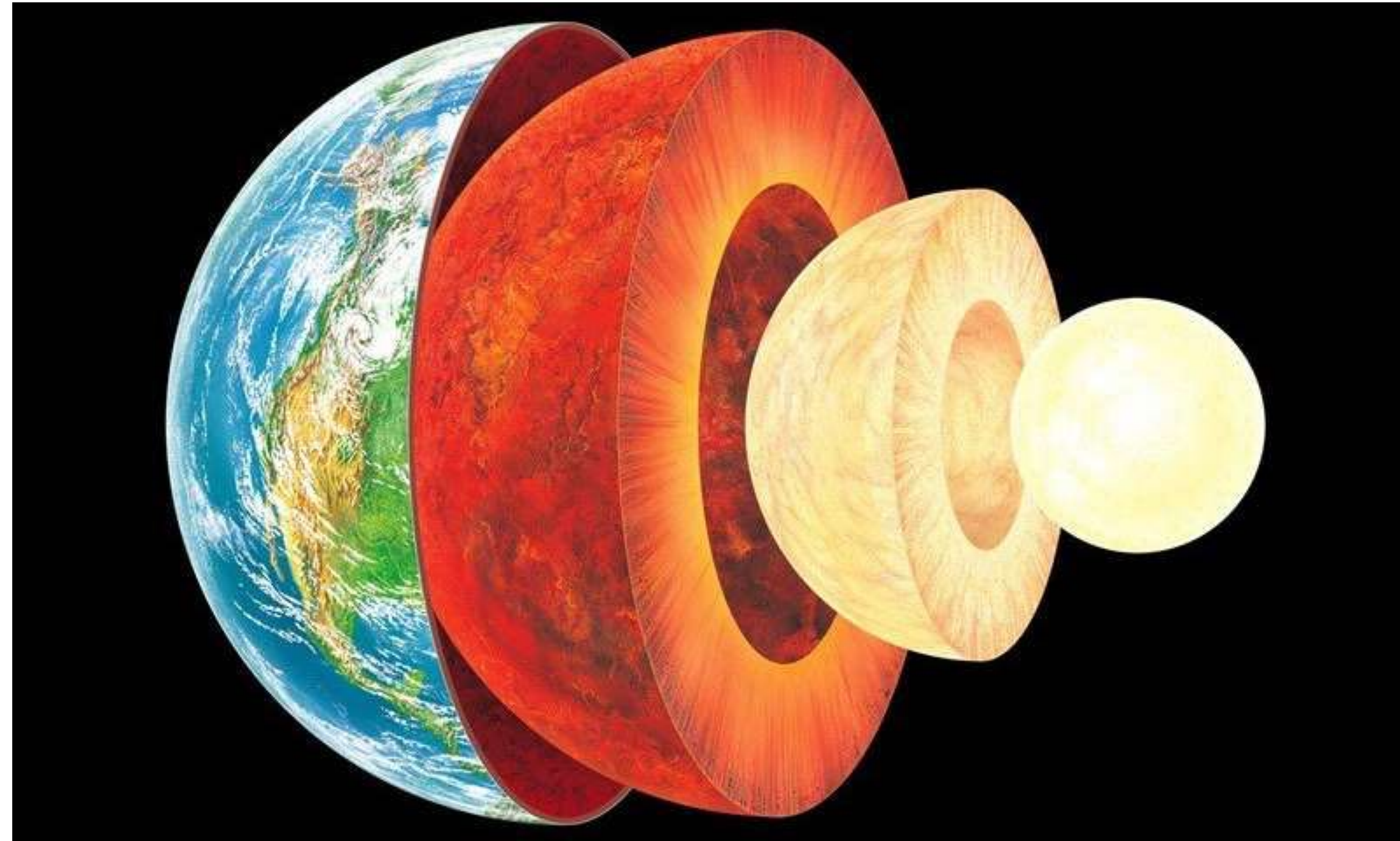


地球惑星圏物理学

第5回：惑星内部の熱輸送と熱史



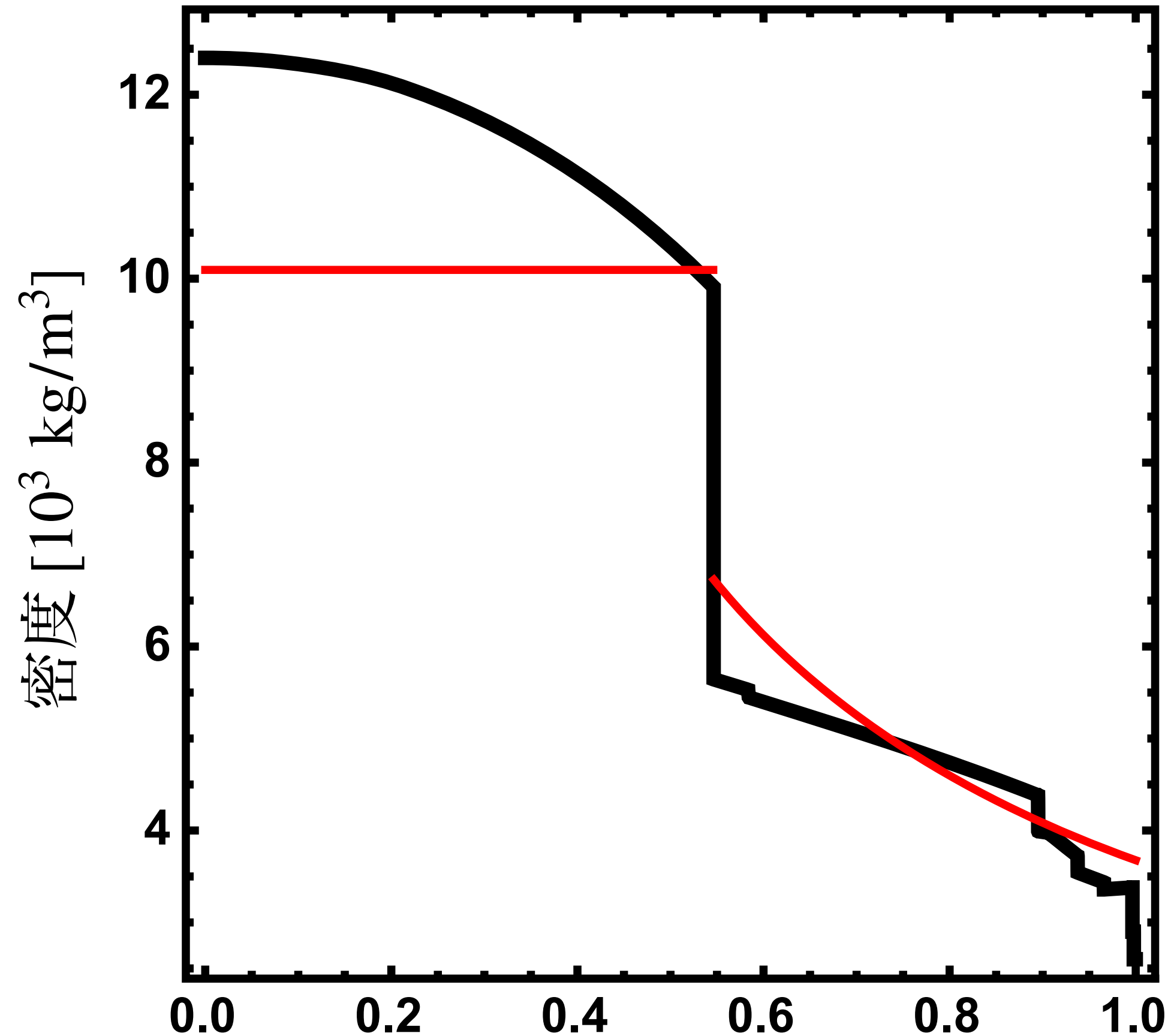
黒川 宏之

東京工業大学 地球生命研究所

hiro.kurokawa@elsi.jp

レポート課題 (5/13 17時締切)

黒：地球の密度分布. 赤：簡略化モデル



中心からの距離 [地球半径 $6.4 \times 10^6 \text{ m} = 1$]

Zeng & Jacobsen (2017) *Astrophys. J.*

地球マントルの密度分布を(1)のように近似する.

$$\rho(r) \simeq \rho_0 \cdot \frac{R}{r} \quad \text{--- (1),} \quad \text{コアの質量は地球質量 } 6.0 \times 10^{24} \text{ kg}$$

の 30% とする

$$\rho_0 = 3 \times 10^3 \text{ kg/m}^3, \quad R = 6.4 \times 10^6 \text{ m} \text{ (地球半径)}$$

また, コアの半径 $R_c \simeq R/2$ とする. このとき,

$$\text{静水圧平衡の式} \quad \frac{dp}{dr} = -\rho \frac{GM_r}{r^2} \quad \text{--- (2)}$$

$$\text{質量保存の式} \quad \frac{dM_r}{dr} = 4\pi r^2 \rho \quad \text{--- (3)}$$

と (1) を解くことで,

コアマントル境界の圧力 p_{CMB} を表す表式を求めよ.

また, その式に各物理量の数値を代入し,

p_{CMB} を見積もれ. (有効数字1桁)

レポート課題 (5/13 17時締切)

(1)を(3)に代入.

$$\frac{dM_r}{dr} = 4\pi\rho_0 Rr \quad (r : R_c \sim R)$$

$$R_c \text{ から } r \text{ まで積分すると, } M_r(r) - M_r(R_c) = \int_{R_c}^r 4\pi\rho_0 Rr dr$$

$$\therefore M_r(r) = 2\pi\rho_0 Rr^2 + M_r(R_c) \quad \text{--- (4)}$$

(4)と(1)を(2)に代入.

$$\frac{dp}{dr} = -\frac{G}{r^2}(2\pi\rho_0 Rr^2 + M_r(R_c)) \cdot \rho_0 \frac{R}{r} \quad (r : R_c \sim R)$$

$$R \text{ から } R_c \text{ まで積分すると, } p(R_c) - p(R) = -\int_{R_c}^R \frac{G}{r^2}(2\pi\rho_0 Rr^2 + M_r(R_c)) \cdot \rho_0 \frac{R}{r} dr$$

$$p(R) \simeq 10^5 \text{ Pa} \ll p(R_c) \equiv p_{\text{CMB}} \text{ より}$$

$$p_{\text{CMB}} = 2G\rho_0 R \left(\pi\rho_0 R \ln 2 + \frac{3M_r(R_c)}{R^2} \right) \quad \text{--- (5) 数値を代入すると, } p_{\text{CMB}} \simeq 2 \times 10^{11} \text{ Pa}$$

球対称構造モデルの基礎方程式

$$\text{静水圧平衡の式 } \frac{dp}{dr} = -\rho \frac{GM_r}{r^2} \quad \text{--- (1)}$$

$$\text{質量保存の式 } \frac{dM_r}{dr} = 4\pi r^2 \rho \quad \text{--- (2)}$$

$$\text{状態方程式 } p = f(\rho, T) \quad \text{--- (3)}$$

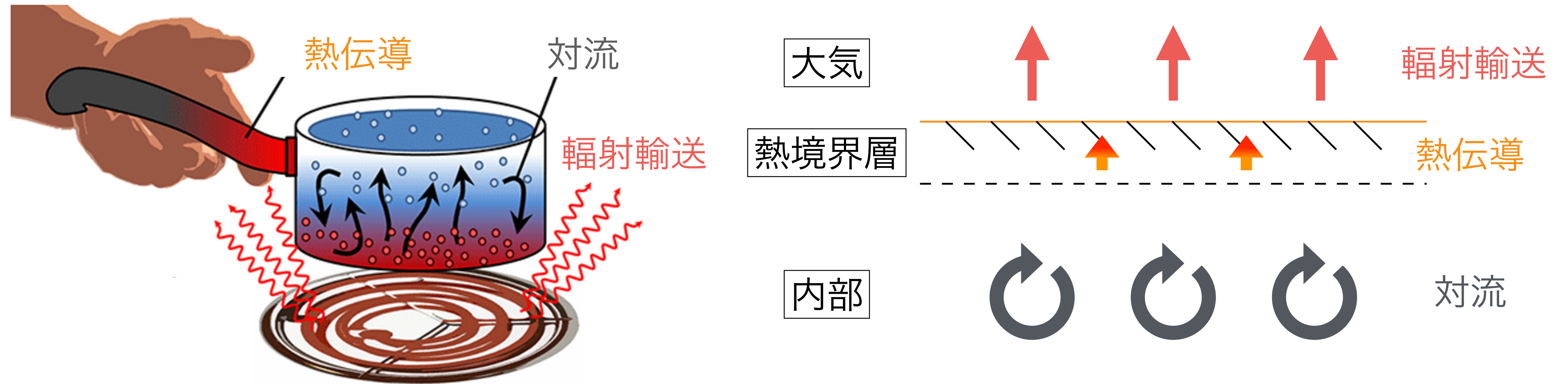
$$\text{エネルギー輸送の式 } \frac{dT}{dr} = -\min\left(\left|\left(\frac{dT}{dr}\right)\right|_{\text{cond}}, \left|\left(\frac{dT}{dr}\right)\right|_{\text{rad}}, \left|\left(\frac{dT}{dr}\right)\right|_{\text{conv}}\right) \quad \text{--- (4)}$$

一般には $M_r(r)$, $p(r)$, $\rho(r)$, $T(r)$ について (1)-(4) を解くが,

固体天体については状態方程式が $p \simeq f(\rho)$ と近似でき, (1)-(3) で方程式が閉じる.

\therefore マントル鉱物の体積膨張率 $\alpha = \frac{1}{V} \left(\frac{\partial V}{\partial T} \right)_p \sim 10^{-5} \text{ K}^{-1} \rightarrow \sim 10^3 \text{ K}$ の温度変化での体積変化 $\sim 1\%$

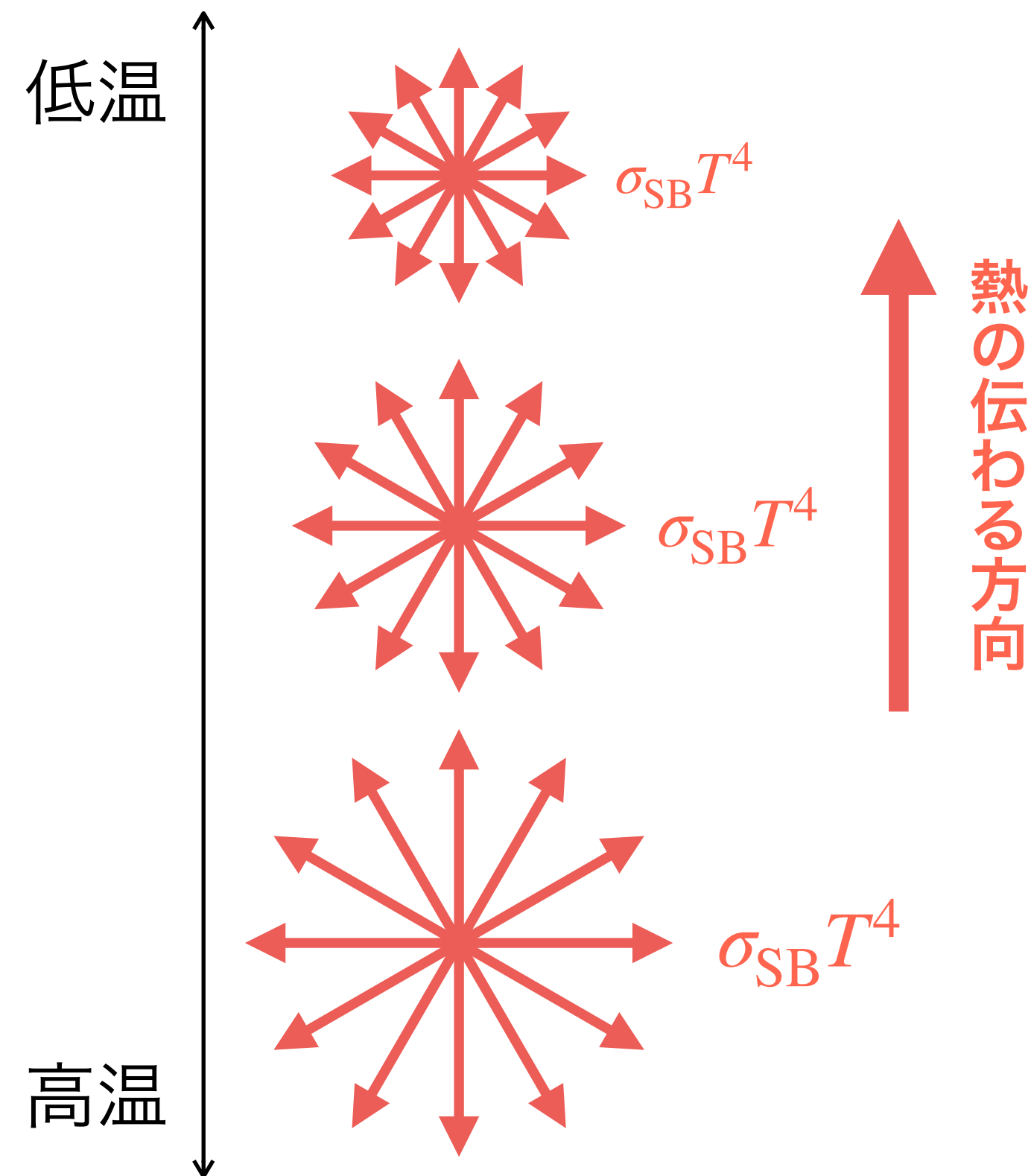
惑星内部の熱輸送



- 惑星内部の熱は対流と熱伝導で輸送される
- 物質境界は熱伝導が優勢な熱境界層となる

輻射輸送

- 任意の物質はその温度に応じて電磁波を放射して冷却
- 電磁波を吸収した物質は加熱される



シュテファン=ボルツマンの法則

黒体からの電磁波の放射は以下の式で表せる

$$F = \sigma_{SB} T^4 \quad \text{— (1)}$$

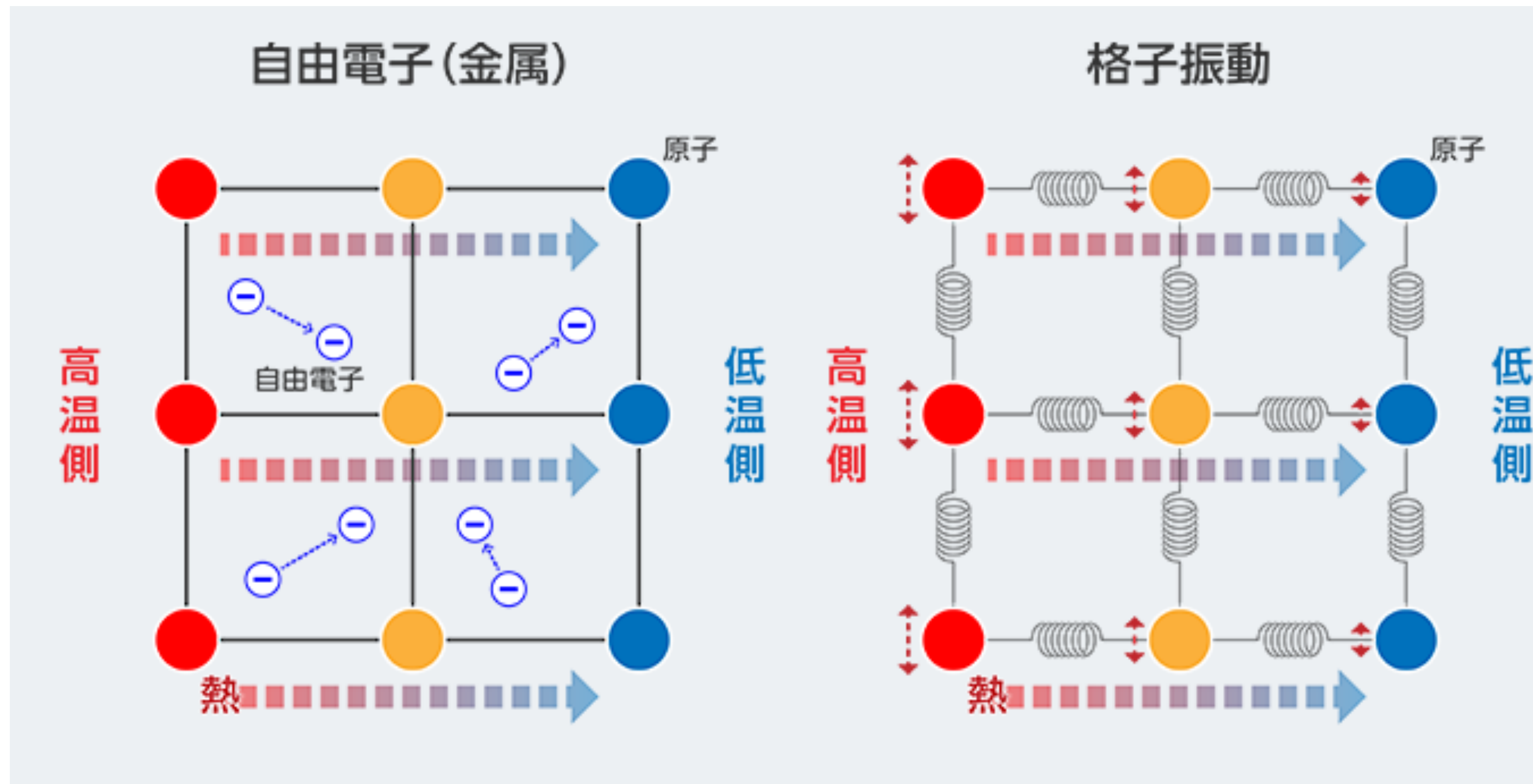
F : 単位面積から単位時間に放射される全エネルギー

T : 温度, σ_{SB} : シュテファン=ボルツマン定数

$$\sigma_{SB} \equiv \frac{2\pi^5 k_B^4}{15ch^3} \simeq 5.67 \times 10^{-8} \text{ W m}^{-2} \text{ K}^{-4} \quad \text{— (2)}$$

熱伝導

- 輻射輸送・マクロな物質移動(対流)を伴わない熱の伝わり方
- 格子振動の伝達, 伝導電子(金属)や分子(流体)の移動



熱伝導方程式

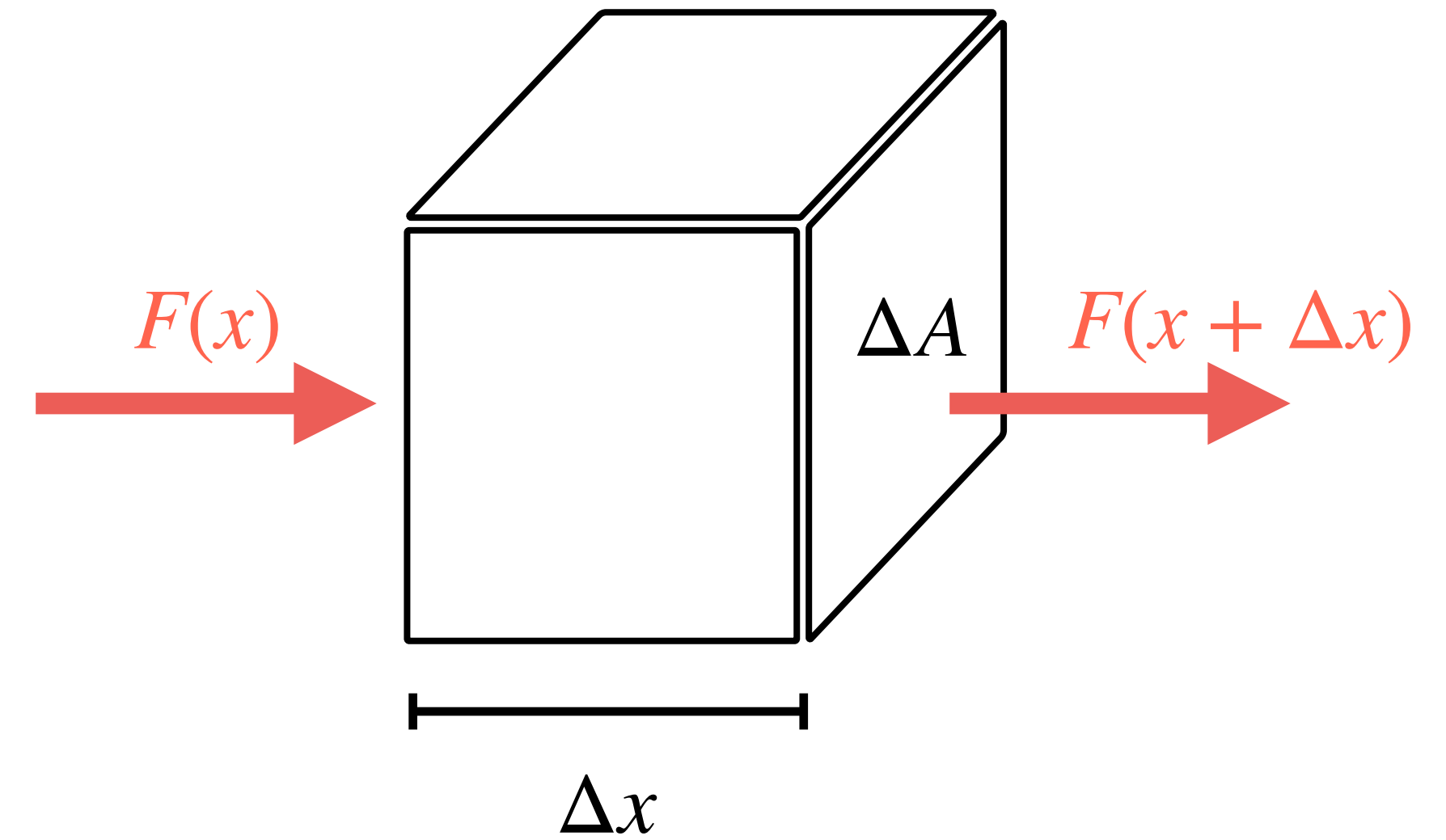
$$\text{熱伝導フラックス：} F = -k_{\text{cond}} \frac{\partial T}{\partial x} \quad \text{--- (1)}$$

$$\text{熱伝導方程式：} \rho c_p \frac{\partial T}{\partial t} = -\frac{\partial F}{\partial x} \quad \text{--- (2)}$$

ここで、 k_{cond} ：熱伝導率、 c_p ：比熱 (質量あたり)

特に、 k_{cond} が空間的に一様である場合、 $\frac{\partial T}{\partial t} = \kappa \frac{\partial^2 T}{\partial x^2}$ --- (3) と書ける

ここで $\kappa \equiv \frac{k_{\text{cond}}}{\rho c_p}$ は熱拡散率と呼ばれる



熱伝導の時間スケール

マントル(岩石)の熱拡散係数 $\kappa \sim 10^{-6} \text{ m}^2 \text{ s}^{-1}$ — (1)

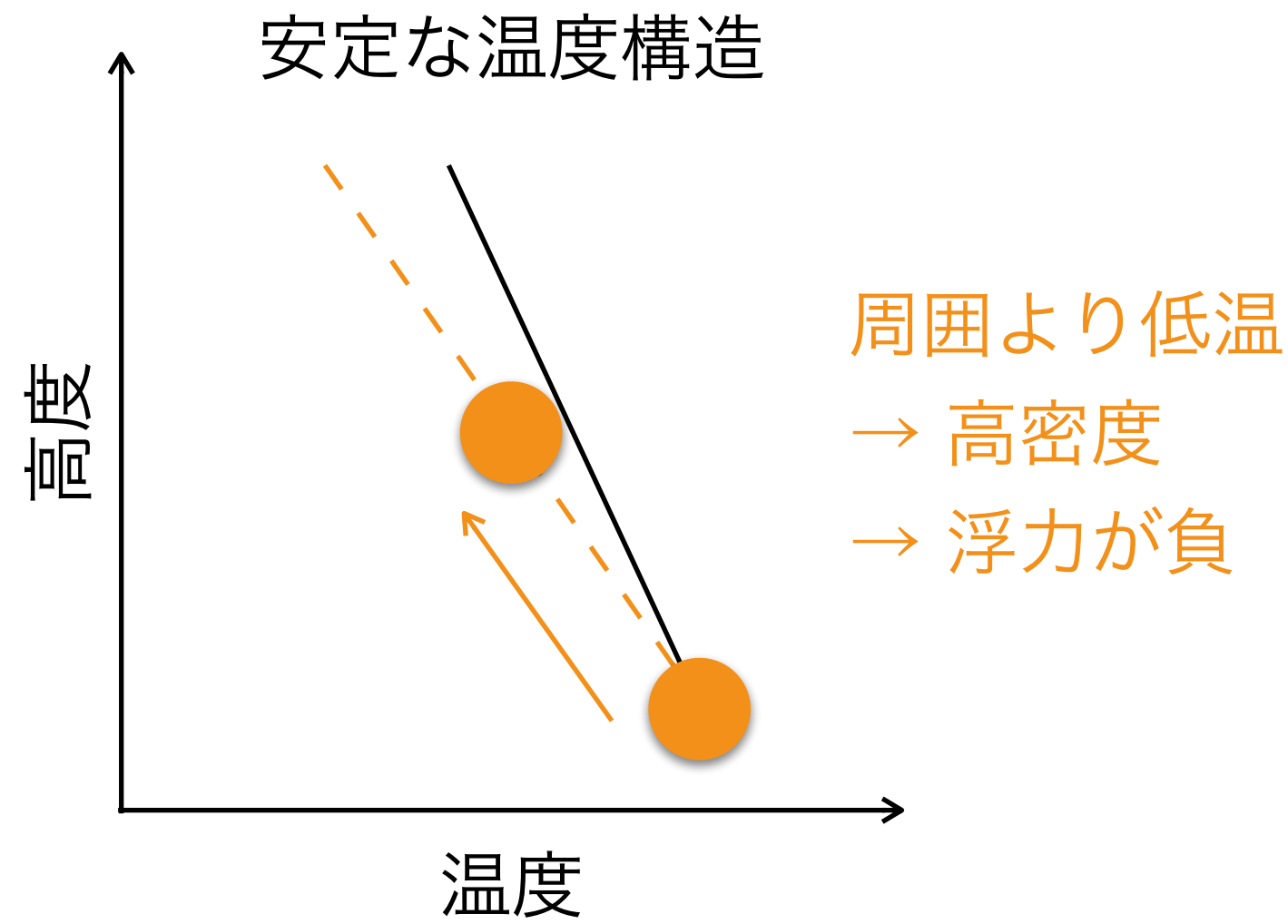
距離 l と拡散時間 τ の関係は, $\tau \sim \frac{l^2}{\kappa}$ — (2)

i) マントルの厚み $l \sim 3 \times 10^6 \text{ m} \rightarrow \tau \sim 10^{11} \text{ year}$ (1000億年!)

ii) 地球年齢 $\tau \sim 5 \times 10^9 \text{ year} \rightarrow$ 熱伝導する距離 $l \sim 10^5 \text{ m} = 100 \text{ km}$

∴ 惑星サイズの物体は熱伝導ではほぼ冷却できない

熱対流



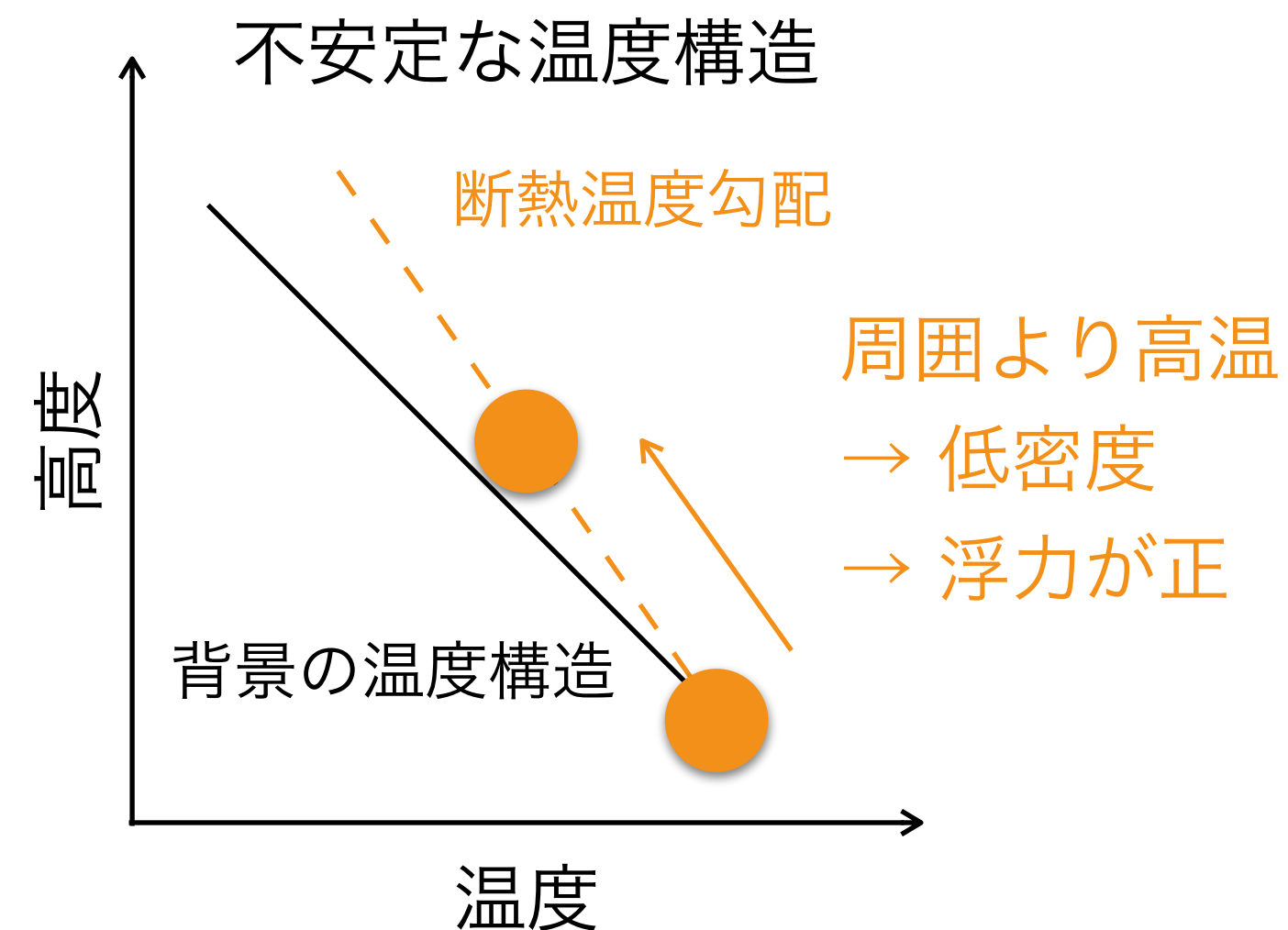
- 下が**高温**, 上が**低温** → 密度差(→浮力)によって不安定
- 浮力による不安定化, 熱伝導・粘性力による安定化のバランスで対流の有無が決まる
- 対流の有無を判定する無次元量: レイリー数

$$Ra = \frac{\alpha \rho g (\Delta T - \Delta T_{ad}) d^3}{\kappa \eta} = \text{浮力} / (\text{熱伝導} \cdot \text{粘性}) \quad \text{— (1)}$$

α : 体積膨張率, ρ : 密度, g : 重力加速度, ΔT : 上端と下端の温度差

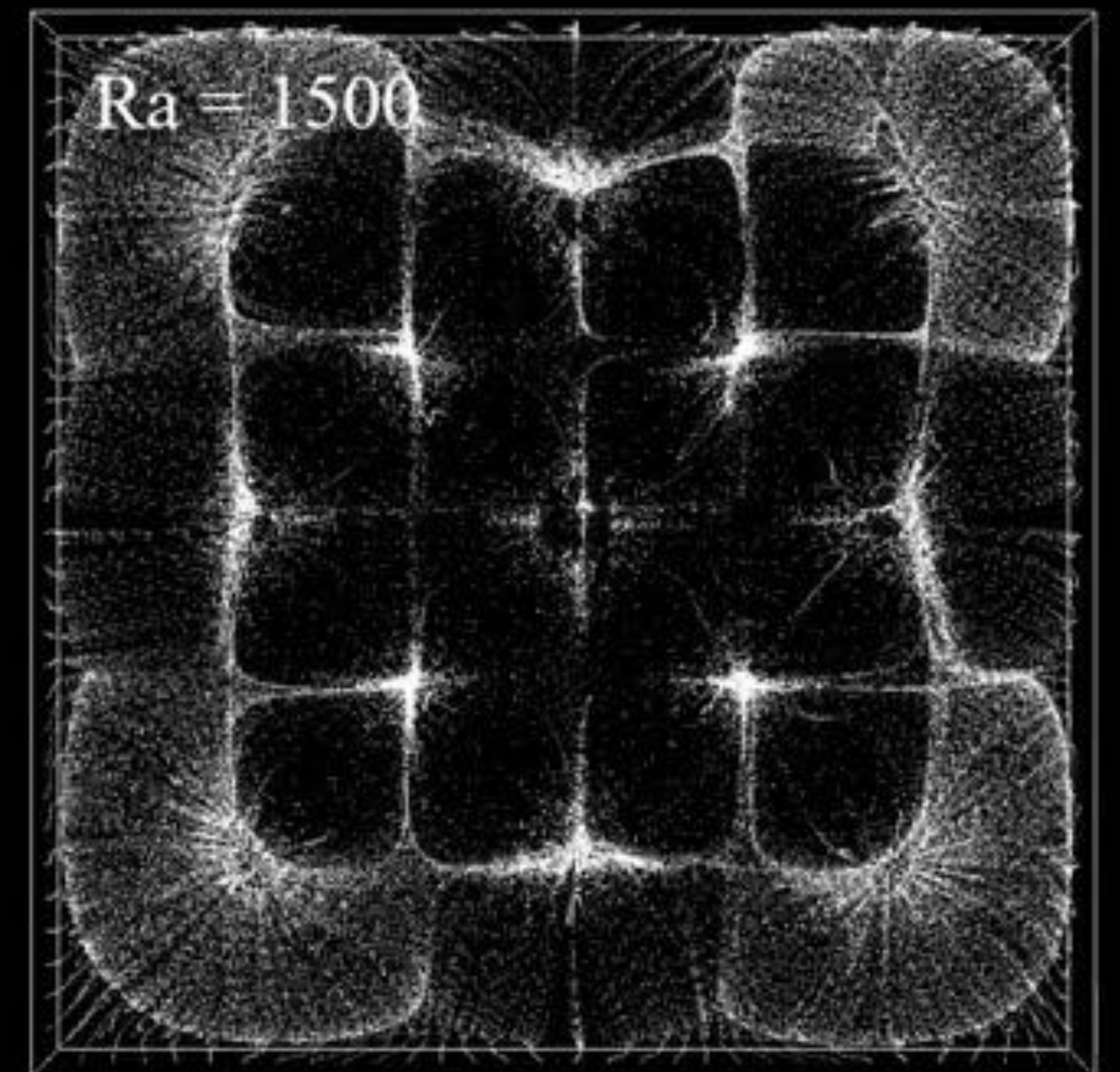
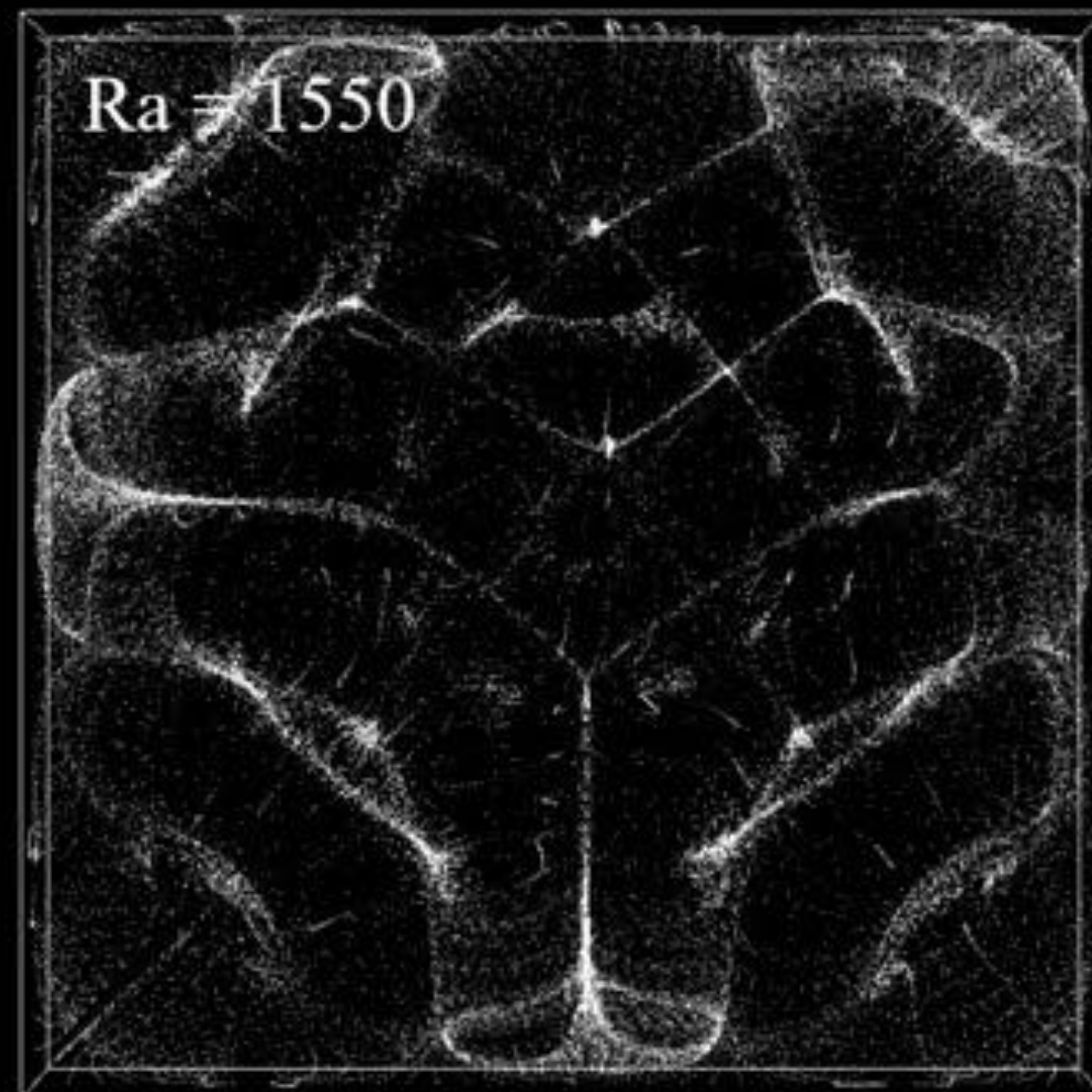
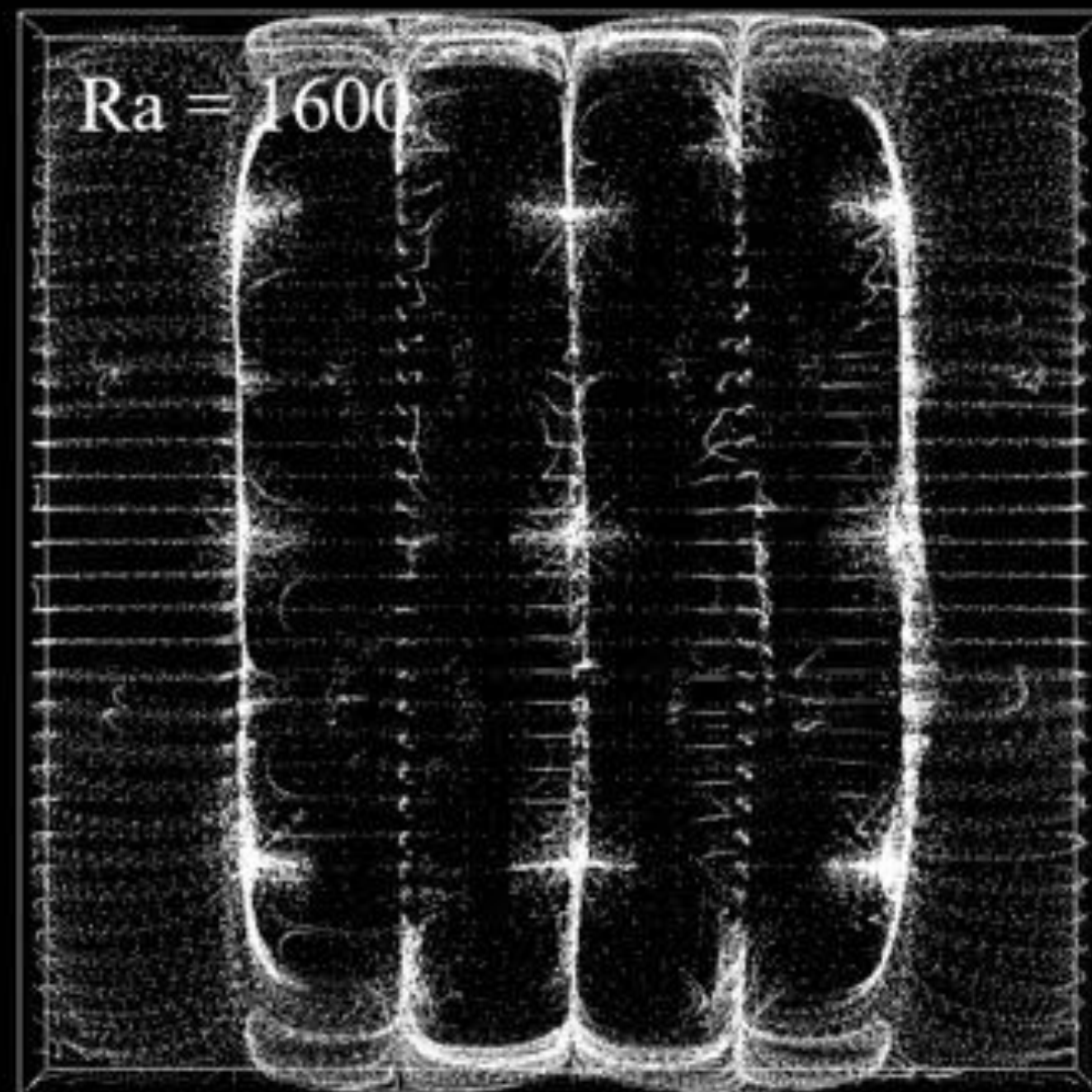
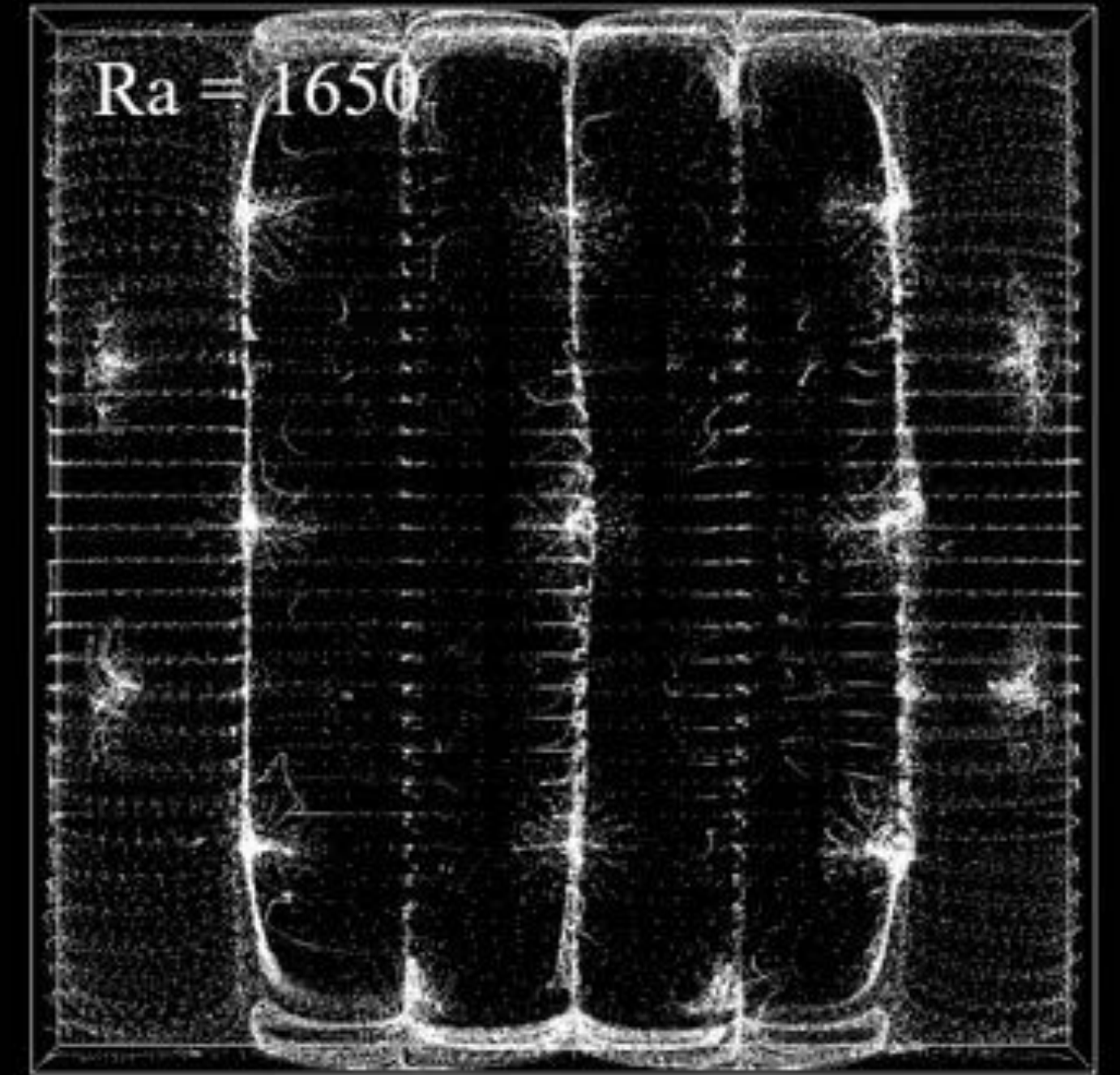
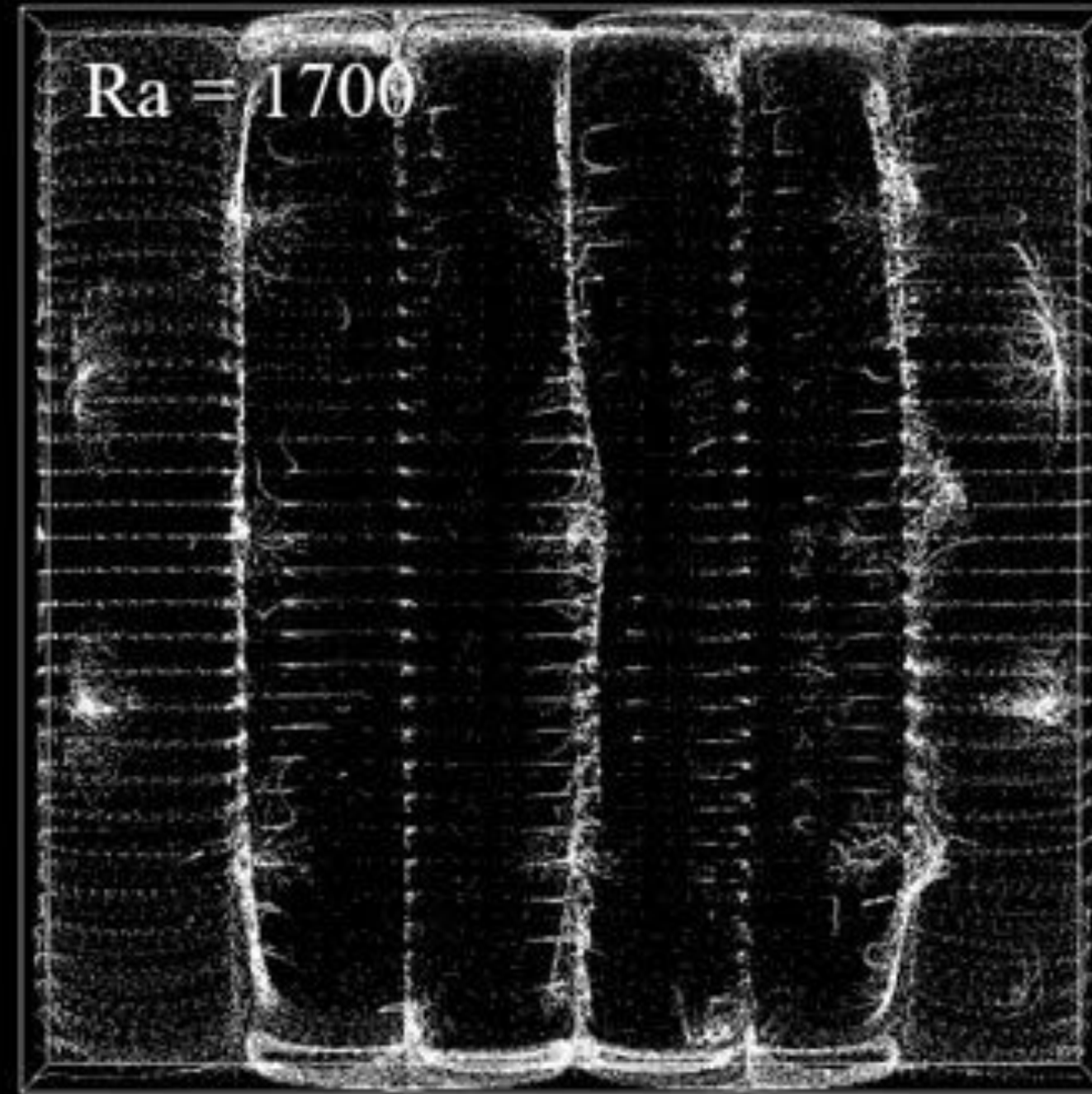
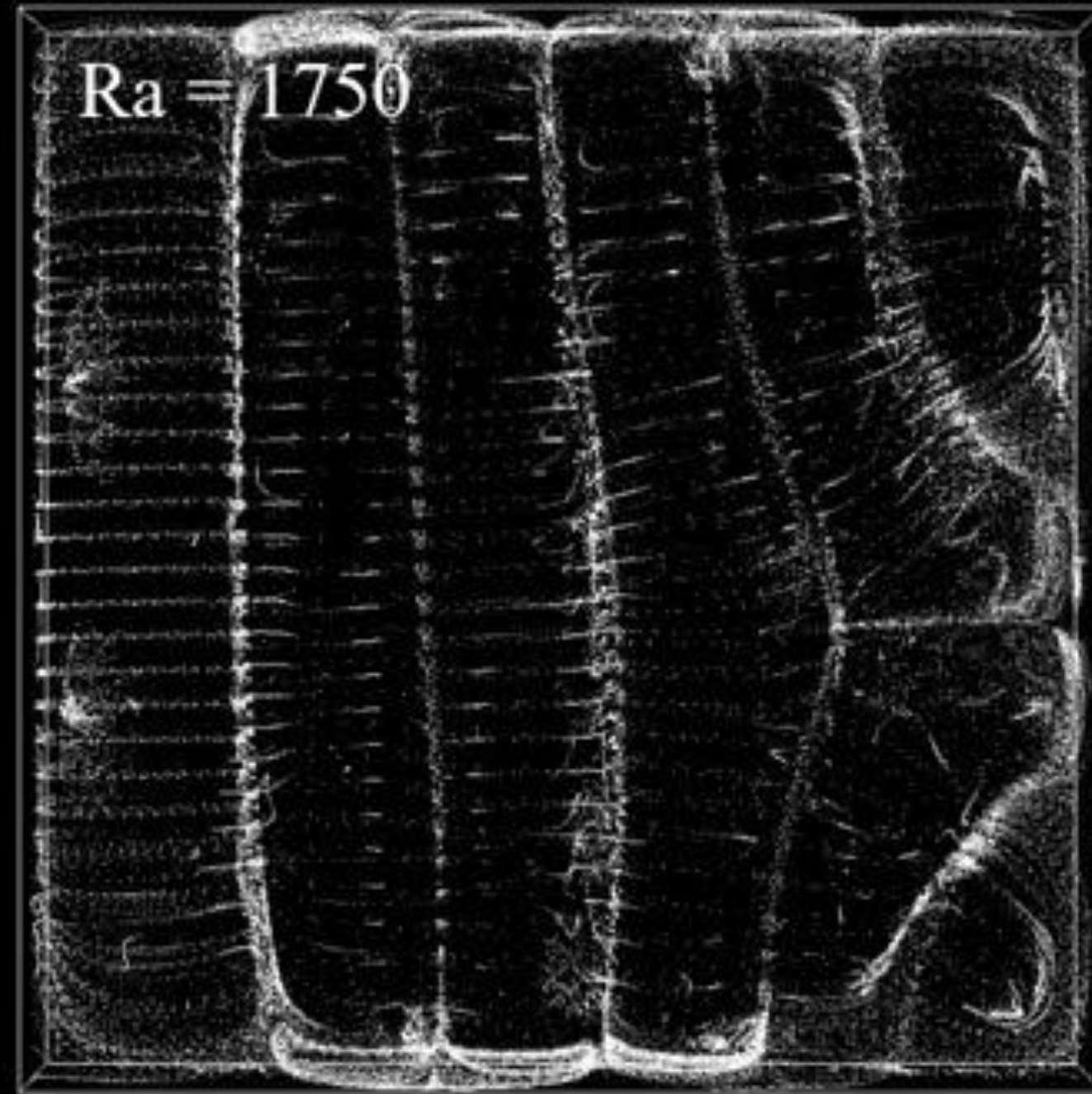
d : 上端と下端の距離, κ : 熱拡散係数, η : 粘性係数

- 対流不安定となる条件: $Ra \gtrsim 10^3$ (レイリー条件)



Bénard convection at $Pr = 1$

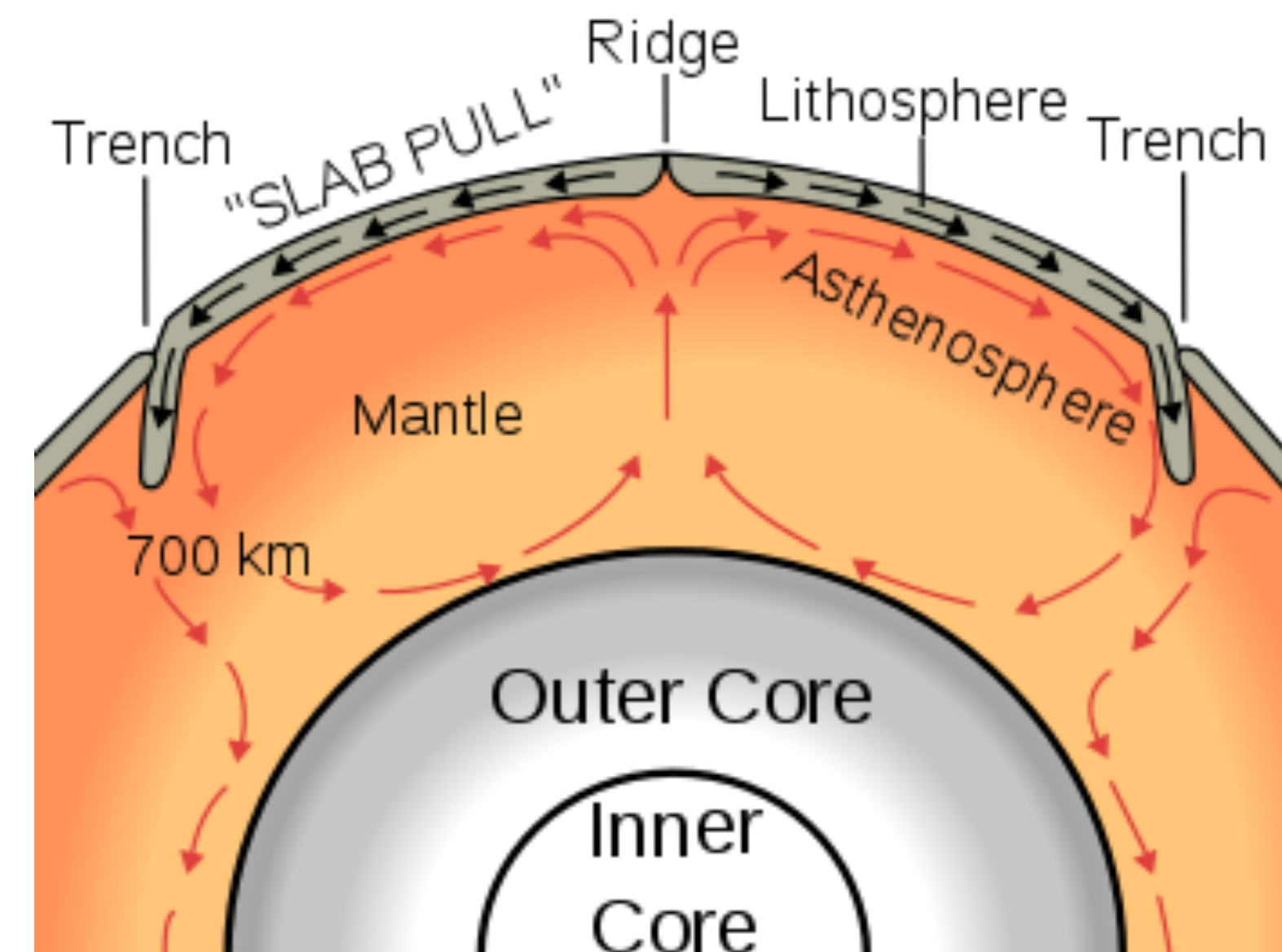
Credit: 計算流体力学研究所 <https://www.youtube.com/watch?v=XalDYrX8csU>



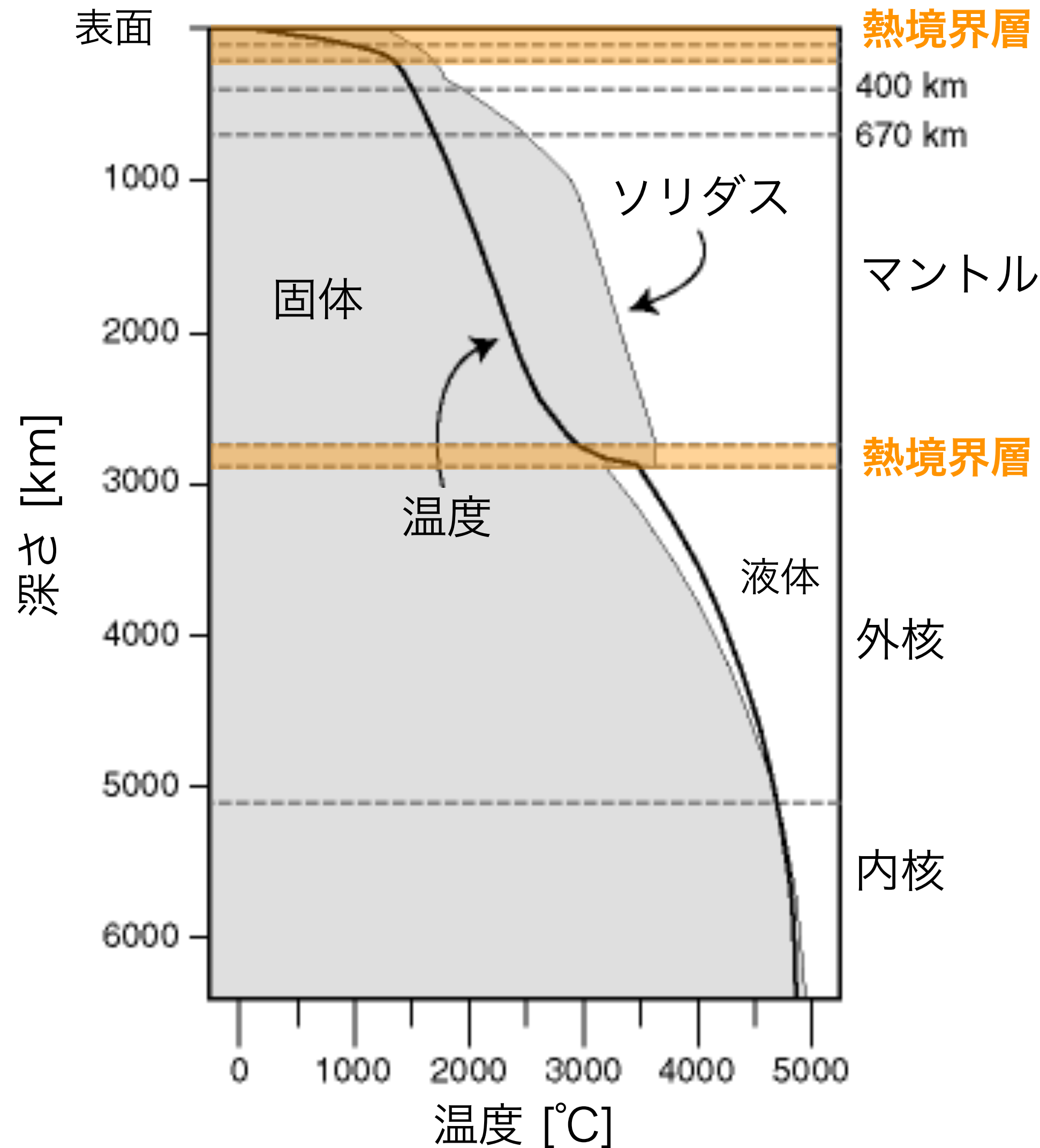
地球マントルは対流不安定

- 長い時間スケール ($> 10^3$ 年) では固体であるマントルも流体的に振る舞う
- $\alpha \sim 3 \times 10^{-5} \text{ K}^{-1}$: 体積膨張率, $\rho \sim 5 \times 10^3 \text{ kg} \cdot \text{m}^{-3}$: 密度, $g \sim 10 \text{ m} \cdot \text{s}^{-1}$: 重力加速度
 $\Delta T \sim 3 \times 10^3 \text{ K}$: 上端と下端の温度差, $d \sim 3 \times 10^6 \text{ m}$: 上端と下端の距離,
 $\kappa \sim 1 \times 10^{-6} \text{ m}^2 \cdot \text{s}^{-1}$: 熱拡散係数, $\eta \sim 1 \times 10^{22} \text{ Pa} \cdot \text{s}$: 粘性係数 (※深さ依存性大)

$$\rightarrow Ra = \frac{\alpha \rho g \Delta T d^3}{\kappa \eta} \sim 10^{7-8}$$



地球内部の温度構造



対流層

対流層

- 熱境界層の温度構造：
熱伝導でエネルギー輸送する温度勾配

$$\frac{dT}{dr} \approx \left(\frac{dT}{dr} \right)_{\text{cond}} \equiv -\frac{F_{\text{int}}}{k_{\text{cond}}} \quad (1)$$

- 対流層の温度構造：
対流運動によって断熱温度勾配

$$\frac{dT}{dr} \approx \left(\frac{dT}{dr} \right)_{\text{ad}} = -\frac{\alpha g T}{c_p} \quad (2) \text{ (次ページ)}$$

断熱温度勾配の導出

$$\text{エントロピー変化 } dS = \left(\frac{\partial S}{\partial T}\right)_p dT + \left(\frac{\partial S}{\partial p}\right)_T dp = \frac{c_p}{T} dT + \left(\frac{\partial S}{\partial p}\right)_T dp \quad (1)$$

一方、ギブズの自由エネルギー変化 $dG = d(U + pV - TS) = Vdp - SdT$ — (2) より、

$$S = -\left(\frac{\partial G}{\partial T}\right)_p, \quad V = \left(\frac{\partial G}{\partial p}\right)_T \quad (3).$$

$$\therefore \left(\frac{\partial S}{\partial p}\right)_T = -\left(\frac{\partial}{\partial p}\left(\frac{\partial G}{\partial T}\right)_p\right)_T = -\left(\frac{\partial}{\partial T}\left(\frac{\partial G}{\partial p}\right)_T\right)_p = -\left(\frac{\partial V}{\partial T}\right)_p \quad (4). \text{ (マクスウェルの関係式)}$$

$$(4) \text{ を } (1) \text{ に代入して, } dS = \frac{c_p}{T} dT - \left(\frac{\partial V}{\partial T}\right)_p dp \quad (5)$$

$$\text{最後に, 体積膨張率 } \alpha = \frac{1}{V} \left(\frac{\partial V}{\partial T}\right)_p \quad (6) \text{ を } (5) \text{ に代入して, } dS = \frac{c_p}{T} dT - \alpha V dp. \quad (7)$$

$$\therefore \left(\frac{\partial T}{\partial p}\right)_S = \frac{\alpha T}{\rho c_p} \quad (8) \rightarrow \left(\frac{dT}{dz}\right)_{\text{ad}} = \frac{dp}{dz} \left(\frac{\partial T}{\partial p}\right)_S = -\frac{\alpha g T}{c_p} \quad (9)$$

熱境界層・対流層の温度勾配

熱境界層：地殻+マントル上部 数100 km

$$F_{\text{int}} = 0.09 \text{ W} \cdot \text{m}^{-2}, \kappa \simeq 1 \times 10^{-6} \text{ m}^2 \cdot \text{s}^{-1},$$

$$\rho \simeq 3 \times 10^3 \text{ kg} \cdot \text{m}^{-3}, c_p \simeq 1 \times 10^3 \text{ J} \cdot \text{kg}^{-1} \cdot \text{K}^{-1} \text{ より},$$

$$\left(\frac{dT}{dz} \right)_{\text{cond}} = - \frac{F_{\text{int}}}{k_{\text{cond}}} \simeq - 30 \text{ K} \cdot \text{km}^{-1}$$

対流層：熱境界層を除くマントル

$$\alpha = 3 \times 10^{-5} \text{ K}^{-1}, g = 10 \text{ m} \cdot \text{s}^{-2}, c_p = 1000 \text{ J} \cdot \text{kg}^{-1} \cdot \text{K}^{-1}, T \simeq 2000 \text{ K} \text{ より},$$

$$\left(\frac{dT}{dz} \right)_{\text{ad}} = \frac{dp}{dz} \left(\frac{\partial T}{\partial p} \right)_S = - \frac{\alpha g T}{c_p} \simeq 0.6 \text{ K} \cdot \text{km}^{-1}$$

惑星の熱源：形成時の重力ポテンシャルエネルギー

例として，月を形成した巨大衝突を想定

質量 $M_1 = 0.9 M_{\oplus}$ の天体1に，質量 $M_2 = 0.1 M_{\oplus}$ の天体2が巨大衝突した場合，

巨大衝突による温度変化 ΔT は，

$$\text{熱エネルギー} = \text{重力ポテンシャルエネルギーより}, \quad (M_1 + M_2)C_p\Delta T = \frac{GM_1M_2}{R_{1+2}}. \quad \text{--- (1)}$$

ここで集積後の天体半径 $R_{1+2} = R_{\oplus}$ ，比熱 $C_p = 1000 \text{ J K}^{-1} \text{ kg}^{-1}$ とする。

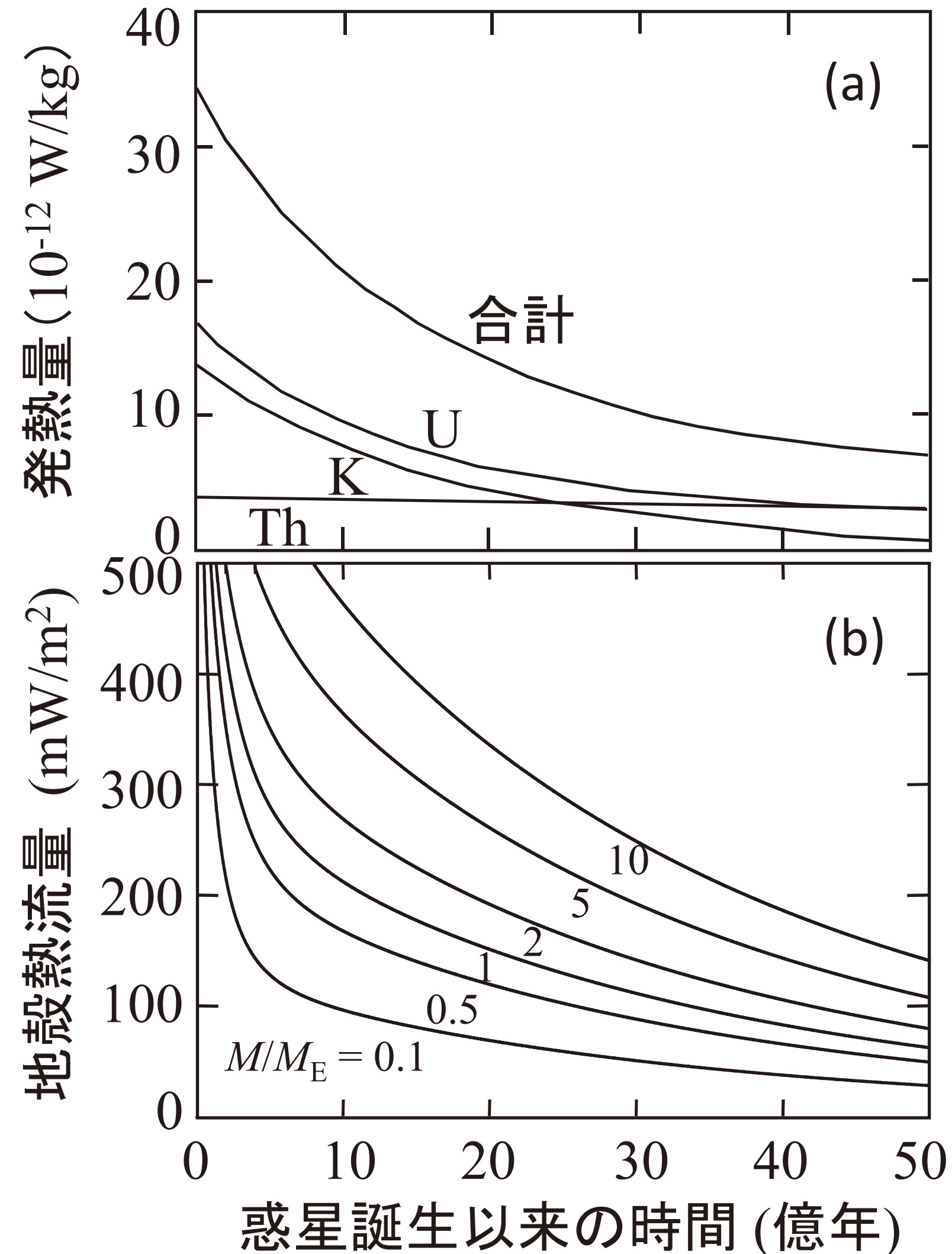
$$(1)\text{より}, \quad \Delta T = \frac{GM_1M_2}{R_{1+2}(M_1 + M_2)C_p} \simeq 5000 \text{ K} \quad \text{--- (2)}.$$

→ 岩石の典型的なソリダス温度 $T_{\text{sol}} \simeq 1500 \text{ K}$ を上回るため，地球は熔融状態で誕生

逆に，小惑星同士 ($M \ll 10^{-3} M_{\oplus}$) の天体衝突では集積時の温度上昇は小さい

惑星の熱源：放射壊変熱

(a) 発熱量 (b) 地殻熱流量(モデル計算) の時間進化



地球の熱史に重要な放射性元素

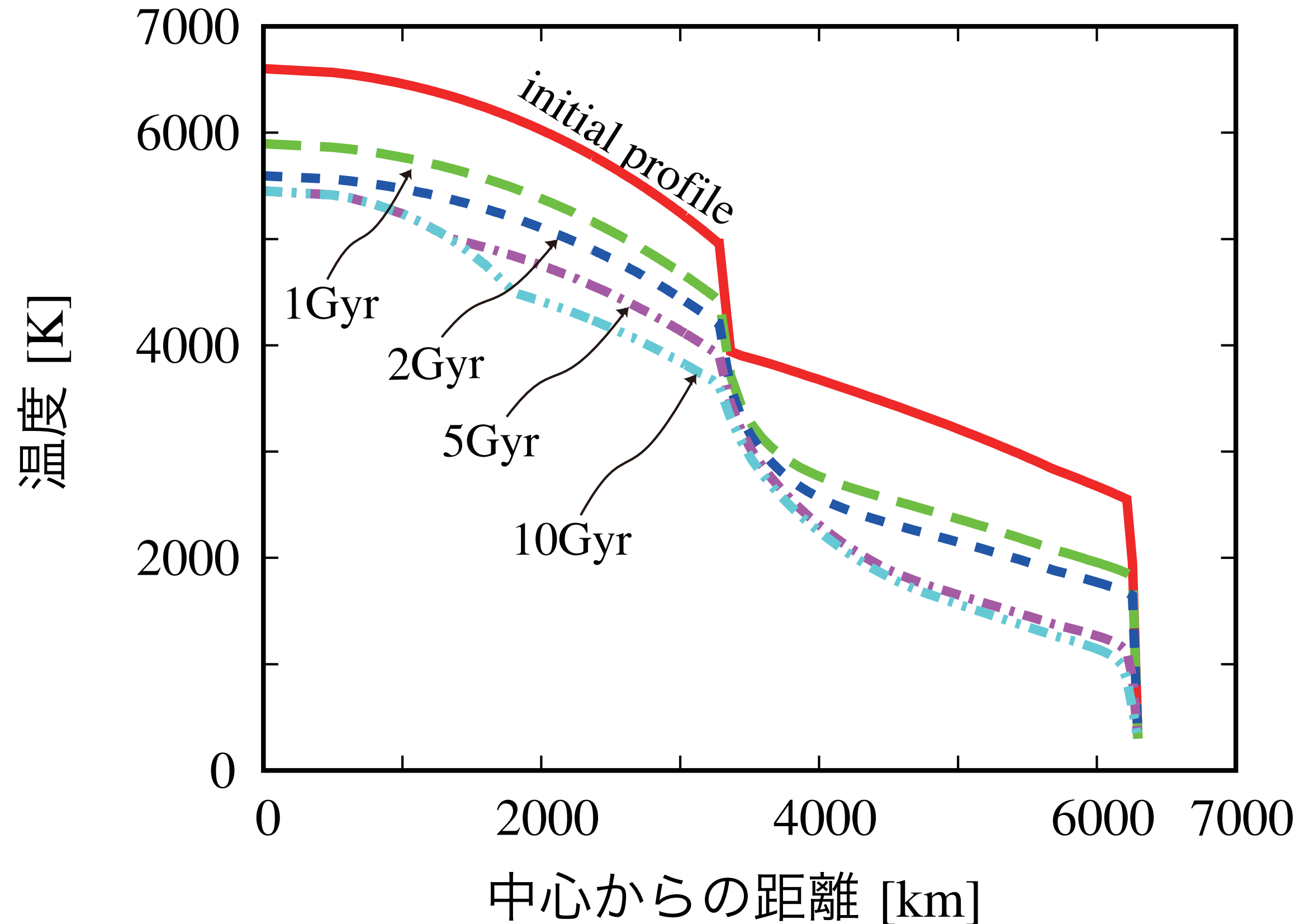
同位体	崩壊熱 (10^{-5} W/kg)	半減期 (億年)	濃度 (10^{-9} kg/kg)
^{238}U	9.46	44.7	30.8
^{235}U	56.9	7.04	0.22
^{232}Th	2.64	140	124
^{40}K	2.92	12.5	36.9

- 数十億年の熱史において放射壊変熱の寄与大
- 現在の地球の地殻熱流量の半分程度が放射壊変熱由来

田近 (2014) Isotope News

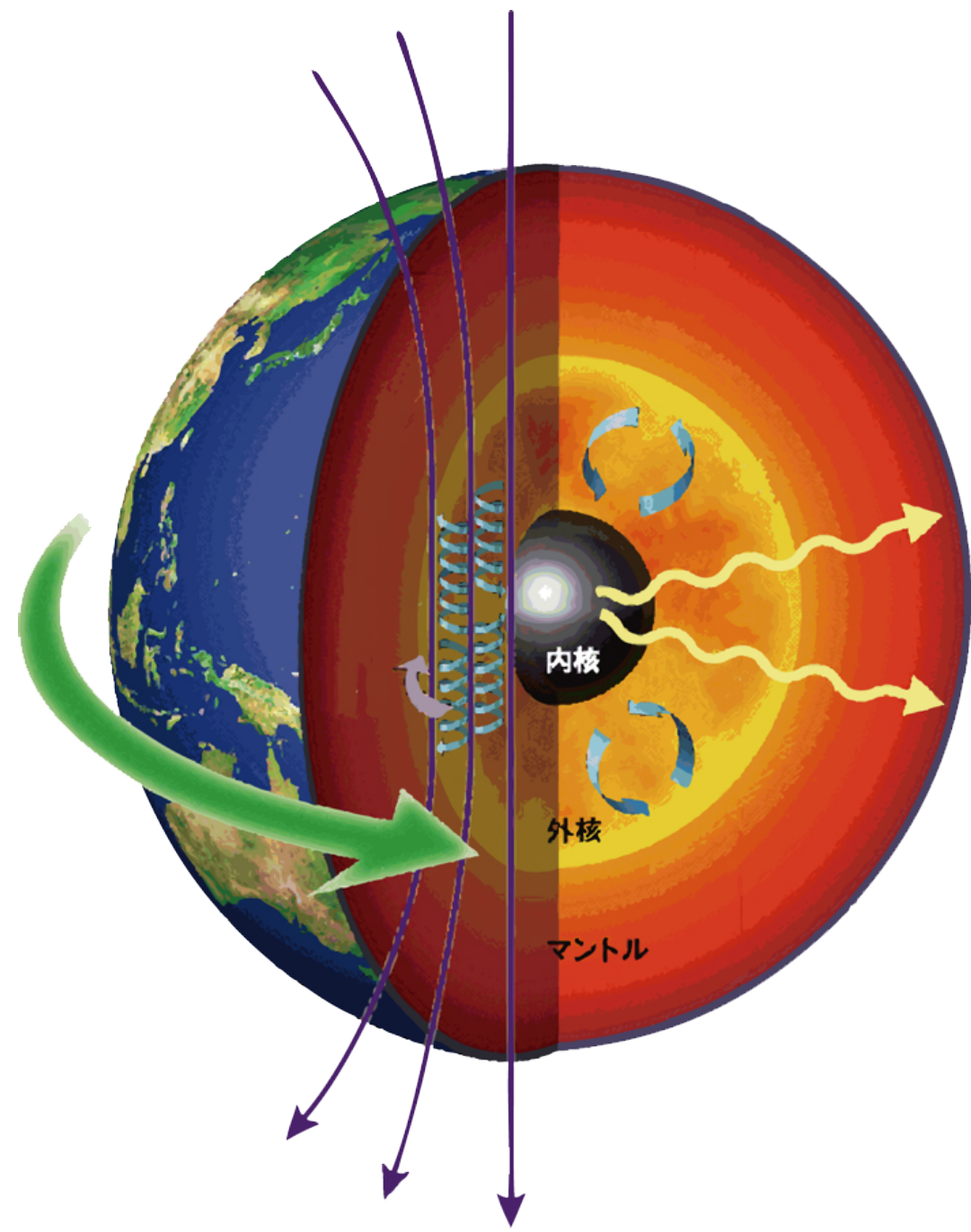
地球の熱史

熱伝導・対流を考慮した地球内部の熱進化計算

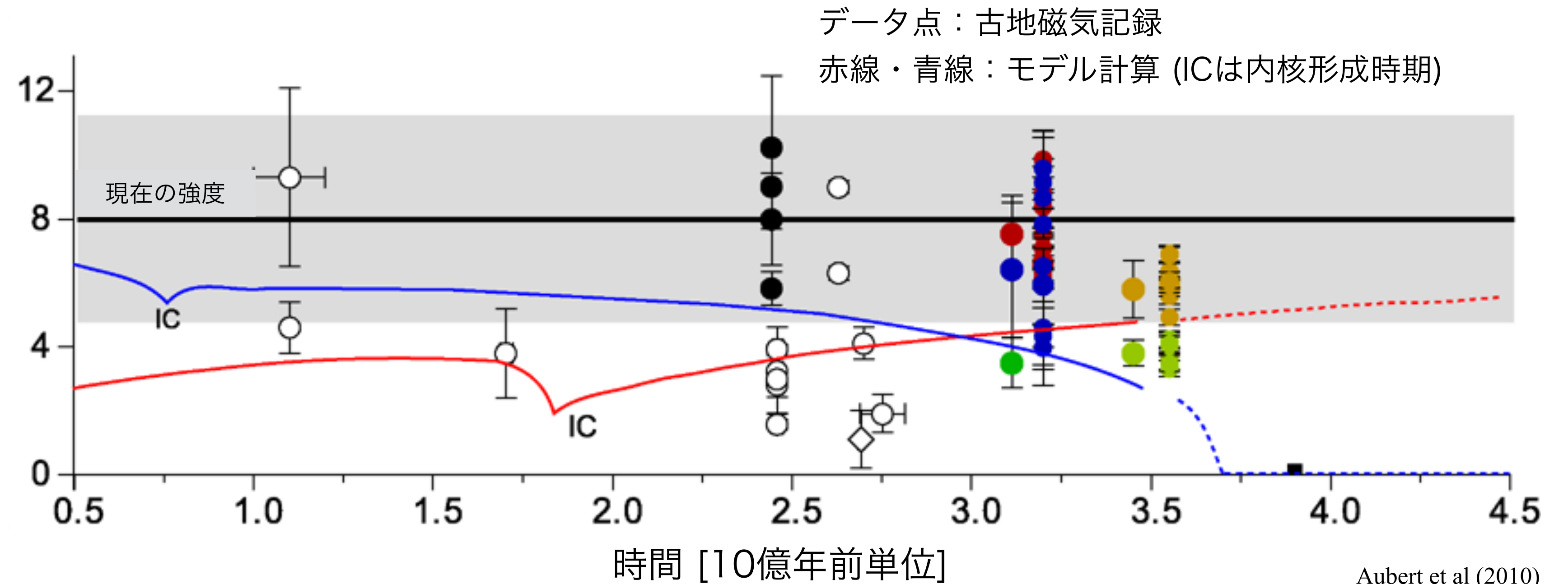


- 惑星内部が対流熱輸送によって冷却
 - 熱境界層は厚く，温度勾配が緩やかに
 - 対流層は断熱温度勾配を保つ
- 表面温度は別のメカニズム(大気の温室効果)で決まる

惑星の冷却と磁場



双極子磁場の強さ
[10^{22} Am^2]



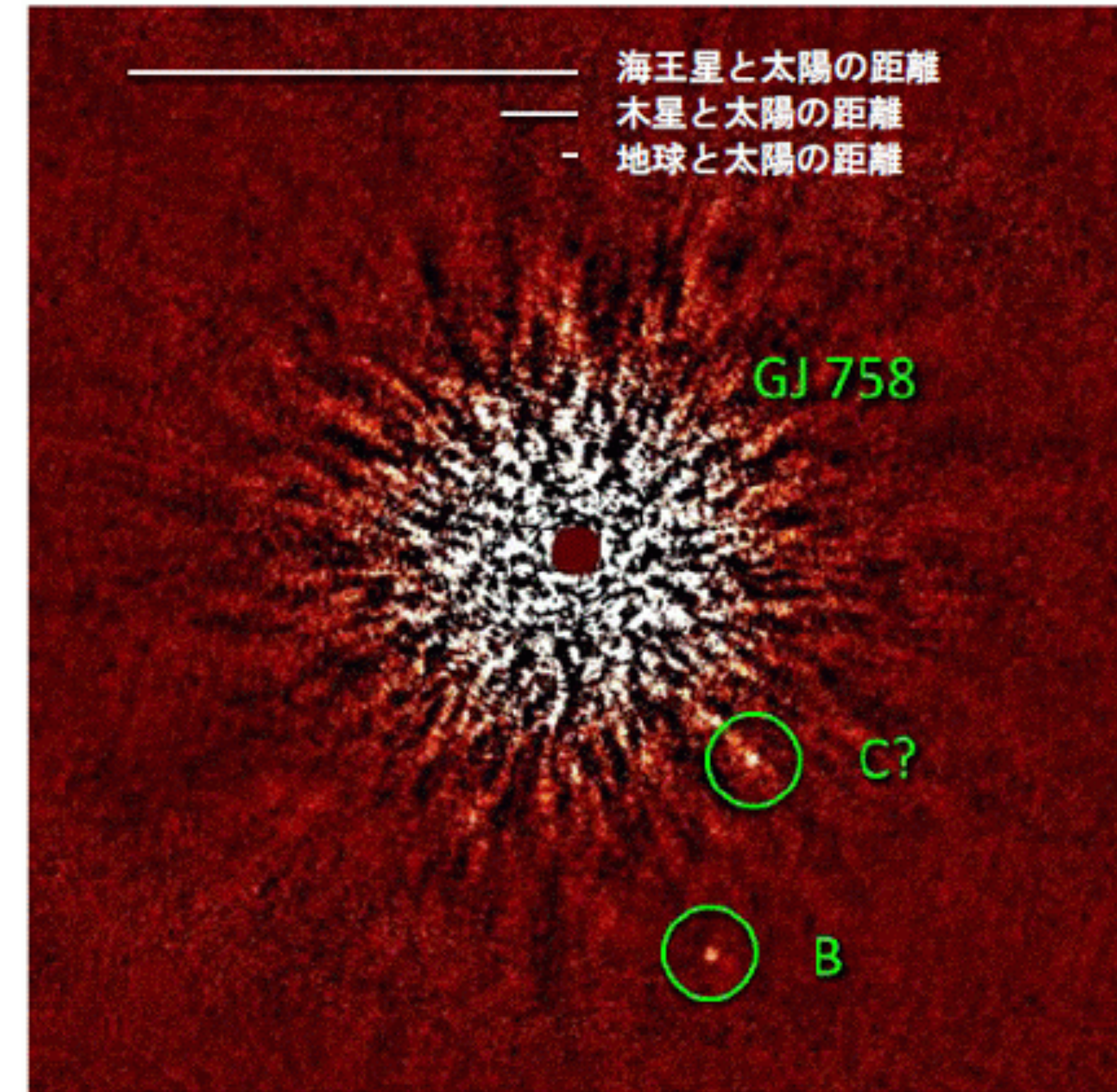
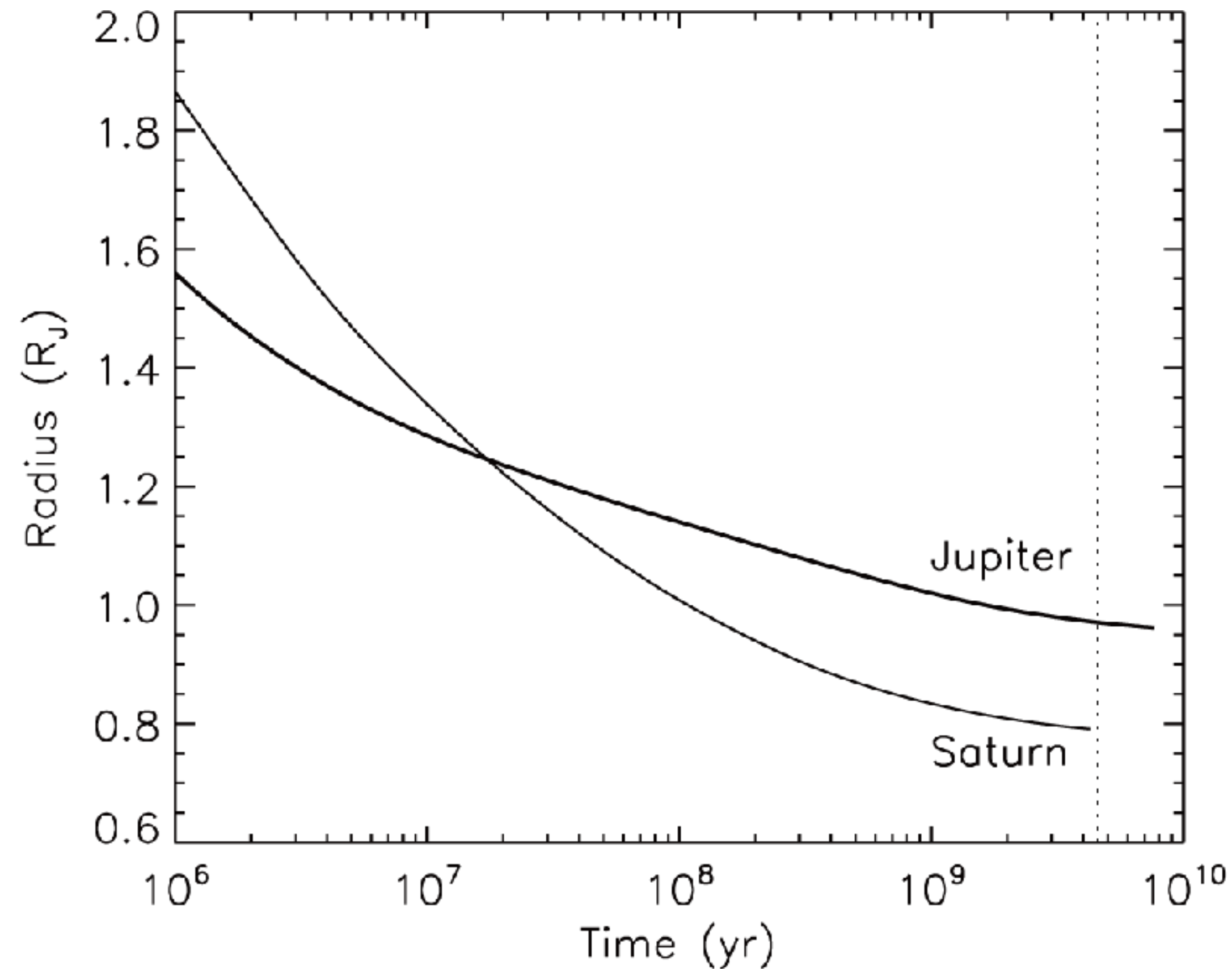
地球磁場の起源：外核(液体鉄)の対流運動

- 地球の冷却に伴い、外核が対流運動 → 磁場を生成 (ダイナモ磁場)
- 核が十分冷えると固体の内核が形成し始める → 磁場を強める (組成対流)
- 地磁気は約40億年間維持されていることが岩石(+鉱物)記録に残っている

巨大ガス惑星の熱史

木星・土星の惑星半径の進化 (Fortney et al. 2011 *Astrophys. J.*)

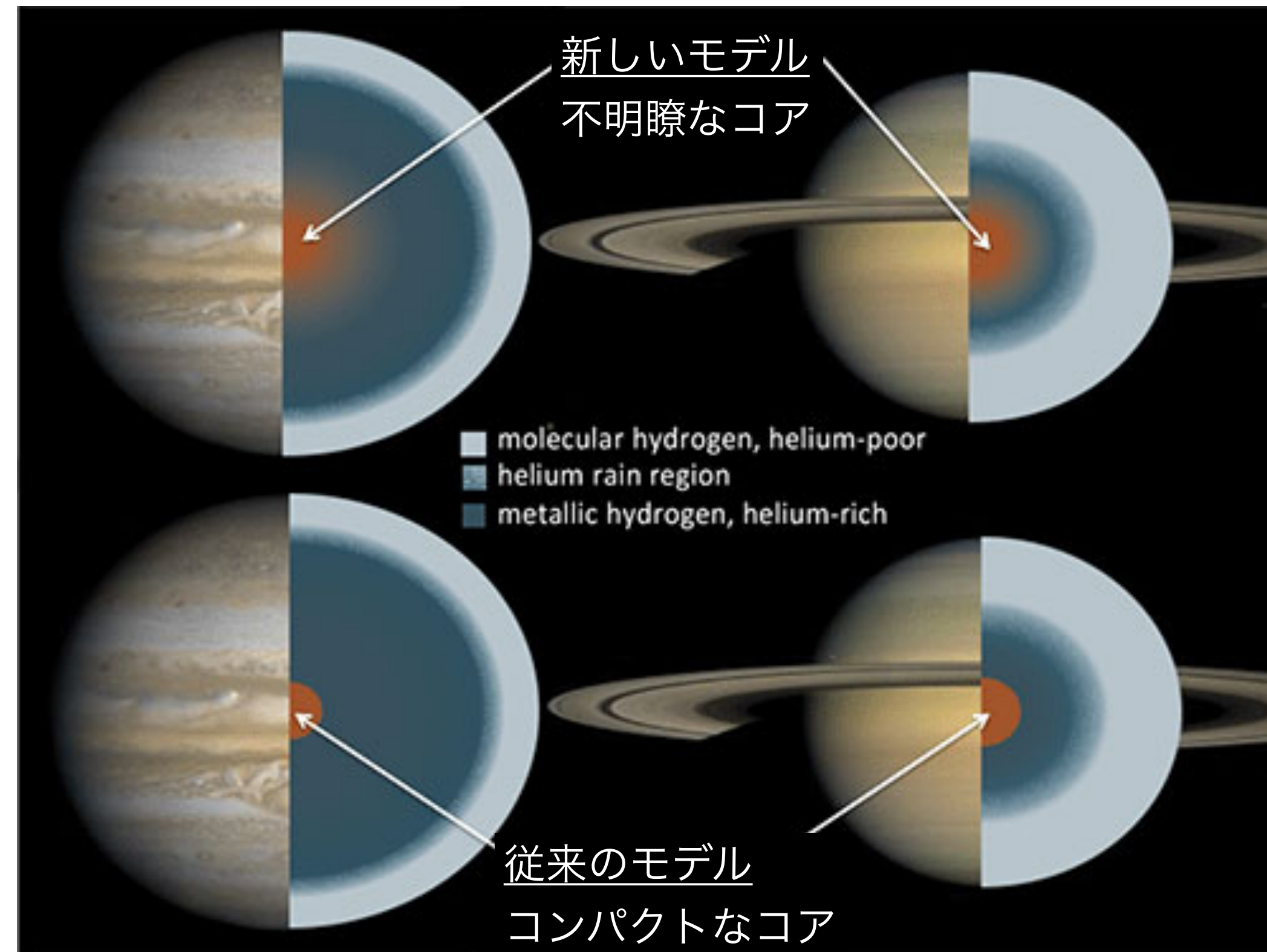
すばる望遠鏡で直接撮像された系外惑星候補 GJ758b (Image credit: 国立天文台)



- 若くまだ”熱い”巨大ガス惑星は、(軌道半径が大きければ)直接撮像できるほど明るい
- 理論的には、誕生直後は現在の1.5-2倍程度の惑星半径となる (∵ 状態方程式が温度依存) ↔ 岩石惑星

新しい内部構造モデル

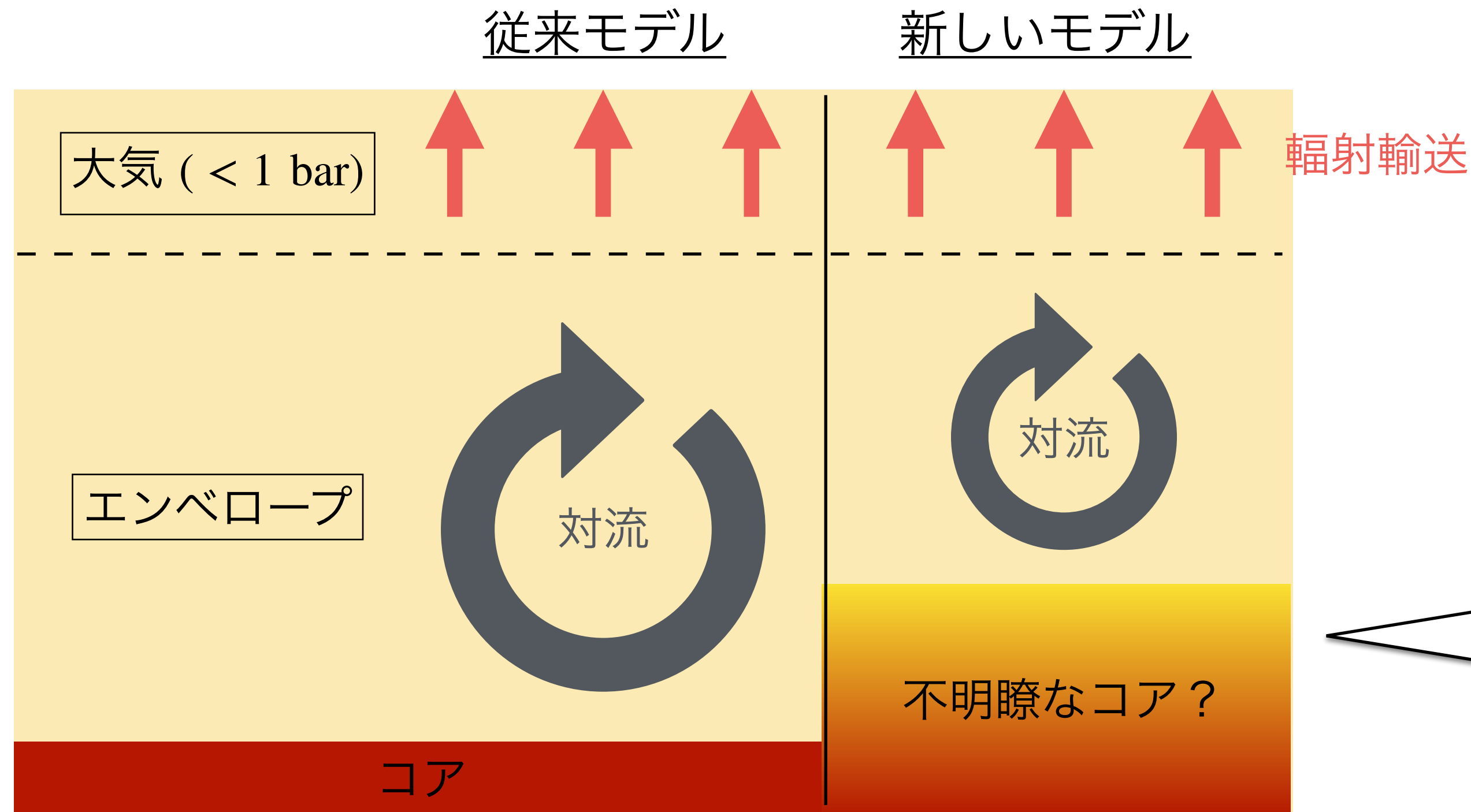
Junoの重力場測定を反映した内部構造モデル



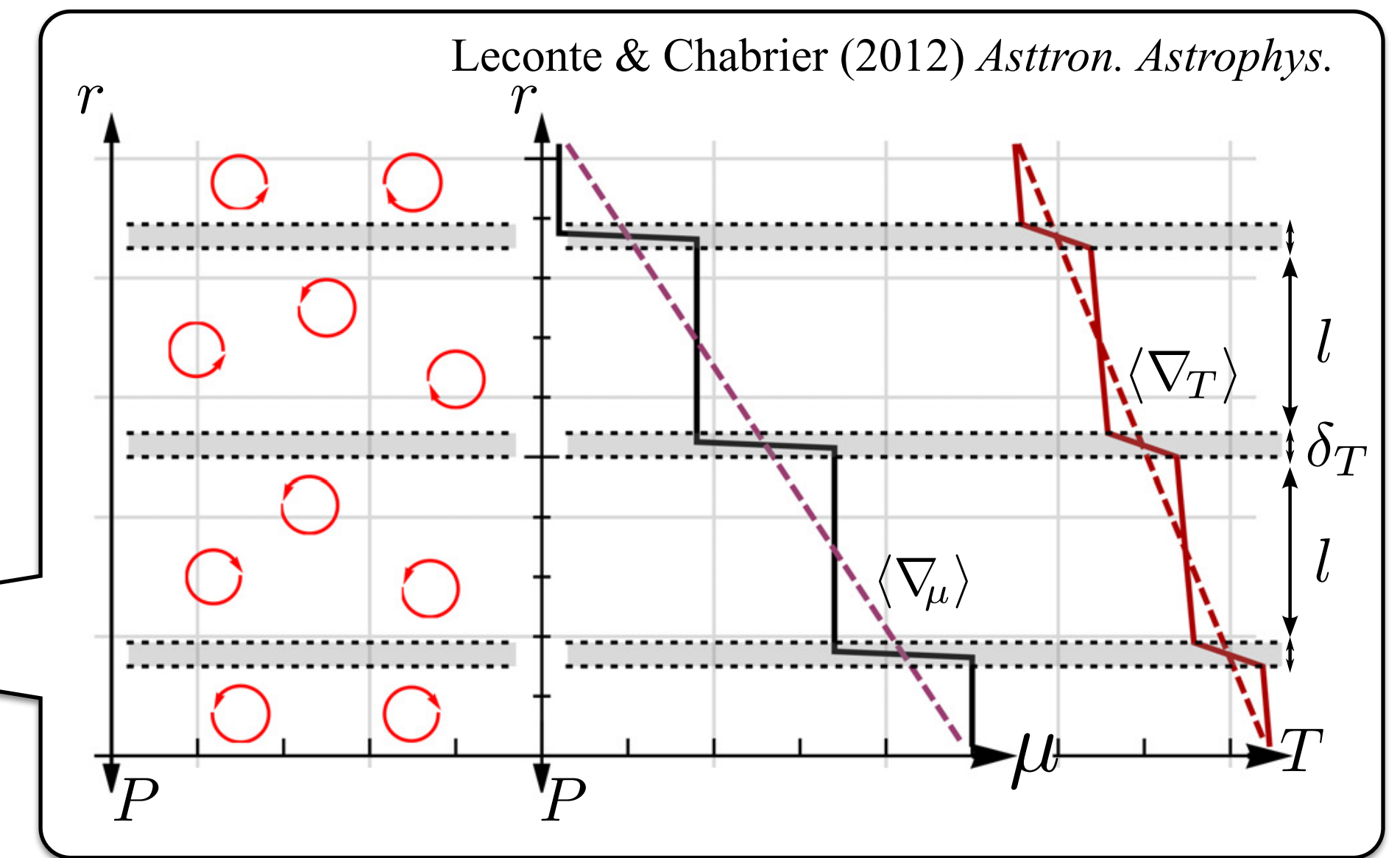
Wahl et al. (2017) *GRL*; Helled (2019) *Oxford Research Encyclopedia of Planetary Science*

- 大きいコアサイズ
- コアとエンベロープの境界は不明瞭かもしれない

巨大ガス惑星内部の対流



薄い対流層と拡散層が折り重なっている内部構造モデル



- 分化も混合もしない中途半端な構造はいかに維持されるのか？
- 対流不安定な温度構造 + 安定な組成構造 → 二重拡散対流？ (例：雪解け水の流れ込む海水)
- 理論的には、層構造の厚さは最小で $\sim 10^{-1} - 10^1$ m ! (Kurokawa & Inutsuka 2015, *Astrophys. J.*)



まとめ

- 3つの熱輸送メカニズム：輻射輸送・熱伝導・対流
- 対流発生条件：レイリー数 $Ra \gg \sim 10^3$ (浮力が粘性力に打ち勝つ)
- 固体惑星の内部：熱境界層(熱伝導) + 対流層
- 惑星の熱源：集積時の熱 + 放射壊変熱
- 惑星の冷却 → ダイナモ磁場
- 巨大ガス惑星の冷却 → 天体サイズの収縮

レポート課題 (5/20 17時締切)

1. シュテファン=ボルツマンの法則に従い，地球表面から単位時間に放射される電磁波(赤外線)のエネルギー [W] を見積もれ (有効数字1桁). 地球の平均気温は 15°C とする. 地球の半径 $R_{\oplus} = 6.4 \times 10^6 \text{ m}$ を用いること.
2. 地球を構成している物質の比熱を $c_p = 1.0 \times 10^3 \text{ J} \cdot \text{kg}^{-1} \cdot \text{K}^{-1}$, 平均的温度を $T_{\text{av}} = 2.0 \times 10^3 \text{ K}$ とする時, 地球の全熱エネルギー [J]を見積もれ (有効数字1桁). 地球の半径 $M_{\oplus} = 6.0 \times 10^{24} \text{ kg}$ を用いること.
3. 1の電磁波が全て地球の冷却に寄与するとした場合, 地球が冷却しきるのにかかる時間を見積もれ (有効数字1桁). また, 計算した冷却時間を地球の年齢 45 億年と比較し, 「現在でも地球内部はまだ暖かい」 ことと整合的な結果となっているか, なっていない場合はなぜか考察せよ.